

文章编号:2095-7386(2019)03-0051-05  
DOI:10.3969/j.issn.2095-7386.2019.03.010

# 一维辐射方程边界层解的存在性

田 恒,范丽丽

(武汉轻工大学 数学与计算机学院,湖北 武汉 430023)

**摘要:**辐射 Euler 方程系统描述了带有热辐射现象的可压流体运动,是一类典型的双曲抛物耦合方程组,是目前国内外数学工作者所关心的一个热门问题。在前期工作的基础上,得到一维辐射 Euler 方程组边界层解的存在区域和衰减性质。

**关键词:**辐射方程;边界层解;指数衰减;代数衰减

中图分类号:O 175.2

文献标识码:A

## The existence of the boundary layer forthe radioactive euler equations in the one-dimensional

TIAN Heng,FAN Li-li

(School of Mathematics and Computer Science,Wuhan Polytechnic University,Wuhan 430023,China)

**Abstract:** The radioactive Euler equations are a fundamental system to describe the motion of the compressible gas with the radioactive heat transfer phenomena, and it's a kind of hyperbolic-elliptic coupled system. At present, mathematics workers are concerned about this hot issue. This paper is devoted to studying the radioactive Euler equations in one-dimensional half space. We will show the unique boundary layer solution exist in different areas under some smallness conditions.

**Key words:** radioactive euler equations; boundary layer wave; exponential decay; algebraical decay

## 1 引言

从宏观的角度来说,流体可以看作在全空间占据一定区域的连续介质,而流体的运动一般由 Navier-Stokes 或者 Euler 方程组来刻画,是应用最为广泛的一类流体力学方程组。辐射 Euler 方程系统描述了带有热辐射现象的可压流体运动,是典型的一类带耗散项的非线性双曲守恒律组,是目前国内外数学工作者所关心的一个热门问题<sup>[1-4]</sup>。在数学物理上,一维半平面辐射 Euler 系统可用如下偏

微分方程表达:

$$\begin{cases} \rho_t + (\rho u)_x = 0, \\ (\rho u)_t + (\rho u^2 + p)_x = 0, \\ \left\{ \rho u \left( e + \frac{u^2}{2} \right) + pu \right\}_t + \left\{ \rho u \left( e + \frac{u^2}{2} \right) + pu \right\}_x + q_x = 0, \\ -q_{xx} + aq + b(\theta^4)_x = 0. \end{cases} \quad (1)$$

$x \in R_+ = [0, +\infty), t > 0$ ,其中  $\rho(x, t), u(x, t), p(x, t), e(x, t)$  及  $\theta(x, t)$  分别是辐射流体的密度,速度,压强,内能以及绝对温度变量,而  $q(x, t)$

收稿日期:2019-03-29.

作者简介:田恒(1992-),女,硕士研究生,E-mail:tianheng0222@126.com.

通信作者:范丽丽(1981-),女,博士,副教授,研究生导师,E-mail:fll810@live.cn.

基金项目:国家自然科学基金面上项目(11871388).

为气体的热辐射流量。 $a, b$  为系统状态常数, 流体中的压强和内能满足流体状态方程

$$p = RP\theta, \quad e = C_v\theta = \frac{R}{\gamma - 1}\theta.$$

$A, R$  均为正常数。式(1)的初始状态为:

$$\begin{aligned} (\rho, u, \theta)(x, 0) &= (\rho_0, u_0, \theta_0)(x) \rightarrow \\ (\rho_+, u_+, \theta_+) &(x \rightarrow +\infty). \end{aligned} \quad (2)$$

$\rho_+ > 0, u_+, \theta_+ > 0$  为给定的右状态。文献([1-3]) 证明了辐射系统初值问题基本波的稳定性, 如稀疏波, 激波和接触间断。文献[4] 将结果扩展到边界值问题。当宏观流体以速度  $u$  流过边界, 日本教授 Matsumura 在文献[5] 中作了一个分类, 当  $u < 0$ , 意味着流体是流出空间区域, 式(1), 式(2) 称为 outflow 问题(图 1 所示); 当  $u > 0$ , 意味着该流体是流入空间区域, 式(1), 式(2) 称为 inflow 问题(图 2 所示); 当  $u = 0$ , 意味着流体是无穿入, 式(1), 式(2) 称为不可穿梭流问题。

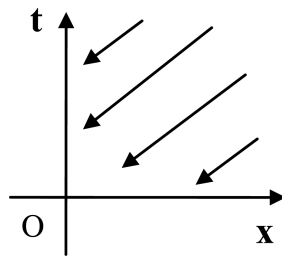


图 1 outflow 问题

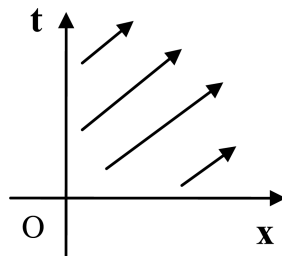


图 2 inflow 问题

考虑到流体与边界的摩擦与非线性作用, 以及流体的流向, 为了找到问题式(1), 式(2) 的适定解, 还要提出合适的边界条件。从方程组式(1) 整体来观察, 温度变量除了辐射效应, 还有扩散效应, 因此提出边界条件

$$\theta(0, t) = \theta_-. \quad (3)$$

而密度和速度变量满足的是双曲结构, 根据 Navier-Stoke 方程组的分析, 对于宏观可压缩流体, 则需要在不同的区域内定义不同的边界条件。根据流体速度的不同, 首先定义不同的流速区。在

Navier-Stoke 系统中<sup>[6-7]</sup>, 定义音速为

$$C(\theta) = \sqrt{\gamma R \theta}. \quad (4)$$

空间域可以分为低音速区  $\Omega_{\text{sub}}$ , 跨音速区  $\Omega_{\text{trans}}$  和超音速区  $\Omega_{\text{upper}}$  如下<sup>[6]</sup>:

$$\begin{aligned} \Omega_{\text{sub}}^+ &= \{(\rho, u, \theta) \mid 0 < u < C(\theta)\}, \\ \Omega_{\text{sub}}^- &= \{(\rho, u, \theta) \mid -C(\theta) < u < 0\}, \\ \Omega_{\text{trans}}^+ &= \{(\rho, u, \theta) \mid u = C(\theta)\}, \\ \Omega_{\text{trans}}^- &= \{(\rho, u, \theta) \mid u = -C(\theta)\}, \\ \Omega_{\text{upper}}^+ &= \{(\rho, u, \theta) \mid u > C(\theta)\}, \\ \Omega_{\text{upper}}^- &= \{(\rho, u, \theta) \mid u < -C(\theta)\}. \end{aligned} \quad (5)$$

对于宏观辐射流体, 采用相同的思路考虑, 我们重新定义音速<sup>[4]</sup>:

$$\overline{C(\theta)} = \sqrt{R\theta}. \quad (6)$$

空间域依然可以划分为低音速区  $\overline{\Omega_{\text{sub}}}$ , 跨音速区  $\overline{\Omega_{\text{trans}}}$  和超音速区  $\overline{\Omega_{\text{upper}}}$ , 如下:

$$\begin{aligned} \overline{\Omega}_{\text{sub}}^+ &= \{(\rho, u, \theta) \mid 0 < u < \overline{C(\theta)}\}, \\ \overline{\Omega}_{\text{sub}}^- &= \{(\rho, u, \theta) \mid -\overline{C(\theta)} < u < 0\}, \\ \overline{\Omega}_{\text{trans}}^+ &= \{(\rho, u, \theta) \mid u = \overline{C(\theta)}\}, \\ \overline{\Omega}_{\text{trans}}^- &= \{(\rho, u, \theta) \mid u = -\overline{C(\theta)}\}, \\ \overline{\Omega}_{\text{upper}}^+ &= \{(\rho, u, \theta) \mid u > \overline{C(\theta)}\}, \\ \overline{\Omega}_{\text{upper}}^- &= \{(\rho, u, \theta) \mid u < -\overline{C(\theta)}\}. \end{aligned} \quad (7)$$

如图 3 所示:

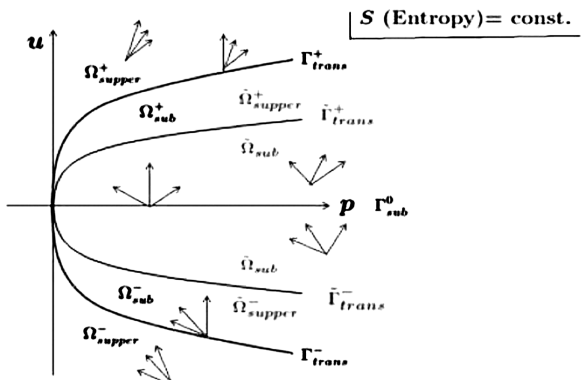


图 3 划分空间域

笔者研究在不同区域内, 辐射 Euler 系统即式(1)–式(3) 边界层解的存在及其衰减性质。

## 2 边界层解及主要结论

笔者研究辐射 Euler 系统即式(1), 式(2) 的边界层解的存在及其衰减性质。边界层解是一类特殊解, 即与时间变量  $t$  无关, 只与空间变量  $x$  有关的一

类静态解。设边界层解为 $(\bar{\rho}, \bar{u}, \bar{\theta}, \bar{q})(x)$  满足方程

$$\begin{cases} (\bar{\rho}\bar{u})_x = 0, \\ (\bar{\rho}\bar{u}^2 + \bar{p})_x = 0, \\ \{\bar{\rho}\bar{u}(e + \frac{\bar{u}^2}{2}) + \bar{p}\bar{u}\}_x + \bar{q}_x = 0, \\ a\bar{q} + b(\bar{\theta})_x^4 = 0. \end{cases} \quad (8)$$

以及边界条件和无穷远处的由状态:

$$\begin{cases} \bar{\theta}(0) = \theta_-, \\ (\bar{\rho}, \bar{u}, \bar{\theta}, \bar{q})(+\infty) = (\rho_+, u_+, \theta_+, 0) \end{cases} \quad (9)$$

定义边界层的强度为

$$\delta := |\theta_+ - \theta_-|.$$

**定理 2.1** 已知右状态 $(\rho_+, u_+, \theta_+)$  和边界绝对温度 $\theta_-$ , 若强度 $\delta$ 充分小, 式(8)–(9)满足

(1) 若 $\sqrt{R\theta_+} < u_+ < \sqrt{\gamma R\theta_+}$ , 即 $(\rho_+, u_+, \theta_+) \in \bar{\Omega}_{\text{upper}}^+ \cap \bar{\Omega}_{\text{sub}}^+$ , 式(8)–(9)存在唯一解 $(\bar{\rho}, \bar{u}, \bar{\theta}, \bar{q})(x)$  且存在某一正常数 $C$ 使得

$$\left| \frac{d^k}{dx^k} (\bar{\rho} - \rho_+, \bar{u} - u_+, \bar{\theta} - \theta_+, \bar{q} - q_+) \right| \leq C\delta^k e^{-\delta x}, \quad (k = 1, 2, 3 \dots). \quad (10)$$

(2) 若 $u_+ = \sqrt{\gamma R\theta_+}$ , 即 $(\rho_+, u_+, \theta_+) \in \Gamma_{\text{trans}}^+$ , 式(8)–(9)存在唯一解 $(\bar{\rho}, \bar{u}, \bar{\theta}, \bar{q})(x)$  且存在某一正常数 $C$ 使得

$$\left| \frac{d^k}{dx^k} (\bar{\rho} - \rho_+, \bar{u} - u_+, \bar{\theta} - \theta_+, \bar{q} - q_+) \right| \leq \frac{C\delta^{k+1}}{1 + (\delta x)^{x+1}}, \quad (k = 1, 2, 3 \dots). \quad (11)$$

(3) 若 $u_+ < -\sqrt{\gamma R\theta_+}$  或 $-\sqrt{R\theta_+} < u_+ < 0$ , 即 $(\rho_+, u_+, \theta_+) \in \bar{\Omega}_{\text{upper}}^-$ , 或 $(\rho_+, u_+, \theta_+) \in \bar{\Omega}_{\text{sub}}^-$ , 式(8)–(9)存在唯一解 $(\bar{\rho}, \bar{u}, \bar{\theta}, \bar{q})(x)$  且满足估计式(10)。

由定理 2.1 的结论, 可知, 一维半平面上, 辐射 Euler 系统即式(1)–式(3)确实存在与时间无关的边界层解且

1. 对于 inflow 问题, 边界层解存在的区域分布在部分超音速区 $\bar{\Omega}_{\text{upper}}^+ \cap \Omega_{\text{sub}}^+$  及跨音速区 $\Gamma_{\text{trans}}^+$ , 如图 3 所示。

2. 对于 outflow 问题, 边界层解存在的区域分布在低音速区 $\bar{\Omega}_{\text{sub}}^-$  和超音速区 $\Omega_{\text{upper}}^-$ , 如图 3 所示。

3. 在超音速区 $\bar{\Omega}_{\text{upper}}^+ \cap \Omega_{\text{sub}}^+, \Omega_{\text{upper}}^-$  及低音速区 $\bar{\Omega}_{\text{sub}}^-$ , 边界层解满足指数衰减性(10); 而在跨音速区 $\Gamma_{\text{trans}}^+$ , 边界层解满足代数衰减性(11)。

定理 2.1 的证明将直接由引理 3.1 得到。

### 3 边界层解

#### 3.1 左状态 $(\rho_-, u_-)$

为了证明定理 2.1, 首先定义相容的左边界状态。为此对于固定的右状态 $(\rho_+, u_+, \theta_+)$ , 即:

$$\bar{\rho}(0) = \rho_-, \bar{u}(0) = u_-, Z_+ = (\rho_+, u_+, \theta_+), \quad (12)$$

若 $Z_- = (\rho_-, u_-, \theta_-) \in BL(Z_+)$ , 即希望边界层解 $(\bar{\rho}, \bar{u}, \bar{\theta})(x)$  连接左状态 $Z_-$  与右状态 $Z_+$ 。将方程组(1)的第一个方程和的第二个方程左右两边在 $(0, +\infty)$ 上积分,  $(\rho_-, u_-)$  满足:

$$\begin{cases} \rho_- u_- = \rho_+ u_+, \\ \rho_- u_-^2 + R\rho_- \theta_- = \rho_+ u_+^2 + R\rho_+ \theta_+, \end{cases} \quad (13)$$

故

$$\rho_- = \frac{\rho_+ u_+}{u_-} \quad (14)$$

同时, 由方程组即式(3)的第二个方程可知,  $u_-$  满足相容条件

$$\begin{aligned} \rho_+ u_+ u_-^2 + R\rho_+ u_+ \theta_- &= (\rho_+ u_+^2 + R\rho_+ \theta_+) u_-, \\ \Rightarrow u_+ u_-^2 + R u_+ \theta_- &= (u_+^2 + R\theta_+) u_-, \\ \Rightarrow u_+ u_-^2 - (u_+^2 + R\theta_+) u_- + R u_+ \theta_- &= 0. \end{aligned} \quad (15)$$

因此, 对于已知的右有状态 $(\rho_+, u_+, \theta_+)$  和 $\theta_-$ , 方程判别式为

$$\begin{aligned} \Delta &= (u_+^2 + R\theta_+)^2 - 4R u_+^2 \theta_- = \\ &= (u_+^2 + R\theta_+)^2 - 4R u_+^2 \theta_+ + 4R u_+^2 (\theta_+ - \theta_-) \\ &= (u_+^2 - R\theta_+)^2 + 4R u_+^2 (\theta_+ - \theta_-) \end{aligned}$$

只要边界层的强度 $\delta$ 充分小, 就可得 $\Delta > 0$ , 从而由二元方程求根公式可得

$$\begin{aligned} u_- &= \frac{u_+^2 + R\theta_+ + u_+^2 - R\theta_+}{2u_+} + O(1)\delta \\ &= u_+ + O(1)\delta. \end{aligned} \quad (16)$$

综上分析, 对于已知的右状态 $(\rho_+, u_+, \theta_+)$  和 $\theta_-$ , 若 $\delta$ 充分小, 由式(14), 式(16), 可以确定相容的左状态 $(\rho_-, u_-)$  且 $Z_- \in \Omega(Z_+, \delta), \Omega(Z_+, \delta)$  以 $Z_+$ 为中心, 半径与 $\delta$ 有关的空间域。

#### 3.2 变换方程

确定好相容的初始状态, 我们再研究方程本身, 由方程组即式(1)的第四个方程可得:

$$\bar{q} = -\frac{b}{a}(\bar{\theta}^4)_x = -\frac{4b}{a}\bar{\theta}^3 \bar{\theta}_x. \quad (17)$$

由将方程组即式(1)的 1–3 方程等式左右在 $(0, x)$ 上积分, 可知 $(\bar{\rho}, \bar{u}, \bar{\theta})(x)$  满足:

$$\begin{cases} \bar{\rho}u = \rho_+ u_+, \\ \bar{\rho}u^2 + \bar{p} = \rho_+ u_+^2 + p_+, \\ \{\bar{\rho}u(\bar{e} + \frac{\bar{u}^2}{2} - \bar{p}u)\} - \{\rho_+ u_+(e_x + \frac{u_+^2}{2}) + p_+ u_+\} = -\bar{q} = \frac{4b}{a}\bar{\theta}^3\bar{\theta}_x \end{cases} \quad (18)$$

经过代数化简后可得：

$$\begin{cases} \bar{\rho} - \rho_+ = \frac{\rho_+}{\mu}(u_+ - \bar{u}), \\ \bar{u} - u_+ = \frac{1}{\rho_+ u_+}(p_+ - \bar{p}). \end{cases} \quad (19)$$

将式(19)代入式(18)的第三个方程,整理后满足

$$\begin{cases} \bar{\theta}_x = H(\bar{\theta}), \\ \bar{\theta}(0) = \theta_-, \bar{\theta}(+\infty) = \theta_+. \end{cases} \quad (20)$$

其中

$$\begin{aligned} H(\bar{\theta}) &= \frac{a}{4b\bar{\theta}^3} \{C_q \rho_+ u_+ (\bar{\theta} - \theta_+) + p_+ (\bar{u} - u_+) - \\ &\quad \frac{\rho_+ u_+}{2} (\bar{u} - u_+)^2\} \\ &= \frac{a C_q \rho_+ u_+}{4b\theta_+^3} \frac{\gamma R\theta_+ - u_+^2}{R\theta_+ - u_+^2} (\bar{\theta} - \theta_+) + O(1)((\bar{\theta} - \theta_+)^2). \end{aligned} \quad (21)$$

因此,需要重点求解常微分方程系统即式(20)以得到 $\bar{\theta}(x)$ ,再代回到方程式(17),式(19),进而求解出 $\bar{\rho}(x)$ , $\bar{u}(x)$ 及 $\bar{q}(x)$ 。显然, $\bar{\rho}(x)$ , $\bar{u}(x)$ 与 $\bar{\theta}(x)$ 具有相同阶的衰减性,而 $\bar{q}(x)$ 比 $\bar{\theta}(x)$ 具有高阶的衰减性。

### 3.3 求解常微分方程

求解常微分方程即式(20),证明定理 2.1。

由式(21)可知 $H(\theta_+) = 0$ 。同时,由常微分方程的稳定性理论可知,超定常微分方程即式(20)的解存在的充分条件为<sup>[8-10]</sup>:

$$H'(\theta_+) = \frac{a C_q \rho_+ u_+}{4b\theta_+^3} \frac{\gamma R\theta_+ - u_+^2}{R\theta_+ - u_+^2} \leq 0. \quad (22)$$

当 $u_+ > 0$ 时,式(22)意味着

$$\sqrt{R\theta_+} < u_+ \leq \sqrt{\gamma R\theta_+}$$

特别地,若 $u_+ = \sqrt{\gamma R\theta_+}$ 可得出

$$\begin{aligned} H(\bar{\theta}) &= -\frac{\gamma(\gamma+1)}{2(\gamma-1)} \frac{C_q \rho_+ u_+}{\theta_+ \bar{\theta}^3} (\bar{\theta} - \theta_+)^2 + \\ &\quad O(1)(\bar{\theta} - \theta_+)^3. \end{aligned} \quad (23)$$

当 $u_+ < 0$ 时,式(22)意味着

$$u_+ \leq -\sqrt{\gamma R\theta_+} \text{ 或 } -\sqrt{R\theta_+} < u_+ < 0.$$

且可得以下引理:

引理 3.1 已知右状态 $(\rho_+, u_+, \theta_+)$ 和 $\theta_-$ ,若 $\delta$ 充

分小,常微分方程即式(20)有以下结论:

- (1) 若 $\sqrt{R\theta_+} < u_+ < \sqrt{\gamma R\theta_+}$ ,常微分方程即式(20)存在唯一解 $\bar{\theta}(x)$ 且满足

$$\left| \frac{d^k}{dx^k} (\bar{\theta} - \theta_x) \right| \leq C \delta^k e^{-\alpha x}, (k = 1, 2, 3 \dots). \quad (24)$$

- (2) 若 $u_+ = \sqrt{\gamma R\theta_+}$ ,常微分方程即式(20)存在唯一解 $\bar{\theta}(x)$ 且满足

$$\left| \frac{d^k}{dx^k} (\bar{\theta} - \theta_x) \right| \leq \frac{C \delta^{k+1}}{1 + (\delta x)^{x+1}}, (k = 1, 2, 3 \dots). \quad (25)$$

- (3) 若 $u_+ < -\sqrt{\gamma R\theta_+}$ 或 $-\sqrt{R\theta_+} < u_+ < 0$ ,常微分方程(20)存在唯一解 $\bar{\theta}(x)$ 且满足(24)。

- (4) 若 $u_+ < -\sqrt{\gamma R\theta_+}$ ,常微分方程(20)存在唯一解 $\bar{\theta}(x)$ 且满足(25)。

证明: 存在性的结果由常微分方程的稳定性<sup>[5-7]</sup>即可知,这里主要证明 $\bar{\theta}(x)$ 的衰减性,也就是式(24)、式(25)。

- (1) 当 $H'(\theta_+) < 0$ 的情形: 为表达方便,不失去一般性,设 $\theta_- < \theta_+$ ,由 Taylor 展开式:

$$\begin{aligned} \bar{\theta}_x &= H(\bar{\theta}) = H(\theta_+) + H'(\theta_+) (\bar{\theta} - \theta_+) + \\ &\quad \frac{1}{2} H''(\xi) (\bar{\theta} - \theta_+)^2, (\bar{\theta} < \xi < \theta_+) = [H'(\theta_+) + \\ &\quad \frac{1}{2} H''(\xi) (\bar{\theta} - \theta_+)] (\bar{\theta} - \theta_+). \end{aligned} \quad (26)$$

其中 $H''(\bar{\theta})$ 是关于 $\bar{\theta}$ 的连续函数,故在区间 $[\theta_-, \theta_+]$ 上, $H''(\bar{\theta})$ 有界,即存在 $M_1 > 0$ ,使得

$$|H''(\bar{\theta})| \leq M_1, \bar{\theta} \in [\theta_-, \theta_+].$$

另一方面,

$$|\bar{\theta} - \theta_+| \leq |\theta_- - \theta_+| = \delta,$$

故

$$\begin{aligned} H'(\theta_+) - \frac{1}{2} M_1 \delta &\leq H'(\theta_+) + \frac{1}{2} H''(\xi) (\bar{\theta} - \theta_+) \leq \\ H'(\theta_+) + \frac{1}{2} M_1 \delta. \end{aligned} \quad (27)$$

存在 $\delta_1 > 0$ 充分小,当边界层的强度 $\delta < \delta_1$ 时,可使 $M_1 \delta < M_1 \delta_1 < |H'(\theta_+)|$ ,从而

$$\begin{aligned} \frac{1}{2} H'(\theta_+) &\leq H'(\theta_+) + \frac{1}{2} H''(\xi) (\bar{\theta} - \theta_+) \leq \\ &\quad \frac{3}{2} H'(\theta_+). \end{aligned}$$

由连续函数的介值原理,存在  $C_1 \in (\frac{1}{2}, \frac{3}{2})$  使得

$$H'(\theta_+) + \frac{1}{2}H''(\xi)(\bar{\theta} - \theta_+) = C_1 H'(\theta_+).$$

从而式(26)可以转化为

$$(\bar{\theta} - \theta_+)_x = C_1 H'(\theta_+) (\bar{\theta} - \theta_+). \quad (28)$$

由常微分方程的分离变量法直接计算可得

$$\int_0^x \frac{1}{\bar{\theta} - \theta_+} d(\bar{\theta} - \theta_+) = \int_0^x C_1 H'(\theta_+) dx.$$

取  $k_1 = C_1 H'_1(\theta_+)$ , 则有

$$|\bar{\theta} - \theta_+| = |\theta_- - \theta_+| e^{k_1 x} = \delta e^{k_1 x}. \quad (29)$$

从而由式(29)可得

$$|(\bar{\theta} - \theta_+)_x| = |C_1 H'(\theta_+)| |\bar{\theta} - \theta_+| = k_1 \delta e^{k_1 x}. \quad (30)$$

同时式(29)可转化为

$$(\bar{\theta} - \theta_+)_xx = C_1 H'(\theta_+) (\bar{\theta} - \theta_+)_x$$

及

$$|(\bar{\theta} - \theta_+)_xx| = |C_1 H'(\theta_+)| |(\bar{\theta} - \theta_+)_x| = k_1^2 \delta e^{k_1 x}. \quad (31)$$

综合式(29)–式(31), 当  $H'(\theta_+) < 0$  时, 可得指数类型的衰减估计式(24)。

(2) 当  $H'(\theta_+) = 0$  的情形: 同样由 Taylor 展开式:

$$\begin{aligned} \bar{\theta}_x &= H(\bar{\theta}) = H(\theta_+) + H'(\theta_+) (\bar{\theta} - \theta_+) + \\ &\quad \frac{1}{2} H''(\theta_+) (\bar{\theta} - \theta_+)^2 + \frac{1}{6} H'''(\xi) (\bar{\theta} - \theta_+)^3. \quad (32) \\ &= \frac{1}{6} [3H''(\theta_+) + H'''(\xi) (\bar{\theta} - \theta_+)] (\bar{\theta} - \theta_+)^2, \\ &(\bar{\theta} < \xi < \theta_+). \end{aligned}$$

同样的分析,  $H''(\bar{\theta})$  在区间  $[\theta_-, \theta_+]$  上连续, 故  $H''(\bar{\theta})$  有界, 即存在  $M_2 > 0$ , 使得

$$|H''(\bar{\theta})| \leq M_2, \bar{\theta} \in [\theta_-, \theta_+].$$

从而

$3H''(\theta_+) - M_2 \delta \leq 3H''(\theta_+) + H''(\xi) (\bar{\theta} - \theta_+) \leq 3H''(\theta_+) + M_2 \delta$ , 存在  $\delta_2 > 0$  充分小, 当边界层的强度  $\delta < \delta_2$  时, 可使  $M_2 \delta < M_2 \delta_2 < |H''(\theta_+)|$ , 从而

$$2H''(\theta_+) \leq 3H''(\theta_+) + H''(\xi) (\bar{\theta} - \theta_+) \leq 4H''(\theta_+).$$

由连续函数的介值原理, 存在  $C_2 \in (\frac{1}{3}, \frac{2}{3})$  使得

$$\frac{1}{6} [3H''(\theta_+) + H''(\xi) (\bar{\theta} - \theta_+)] = C_2 H''(\theta_+).$$

从而式(22)可以转化为

$$(\bar{\theta} - \theta_+)_x = C_2 H''(\theta_+) (\bar{\theta} - \theta_+)^2. \quad (33)$$

由常微分方程的分离变量法直接计算可得

$$\int_0^x (\bar{\theta} - \theta_+)^{-2} d(\bar{\theta} - \theta_+) = \int_0^x C_2 H''(\theta_+) dx \text{ 设 } k_2$$

$$= -C_2 H''(\theta_+), \text{ 我们可以解得}$$

$$\bar{\theta} - \theta_+ = \frac{\delta}{1 + k_2 x \delta}. \quad (34)$$

以及

$$\begin{aligned} (\bar{\theta} - \theta_+)_x &= C_2 H''(\theta_+) (\bar{\theta} - \theta_+)^2 = \\ &- k_2 \left( \frac{\delta}{1 + k_2 x \delta} \right)^2. \end{aligned} \quad (35)$$

$$\begin{aligned} (\bar{\theta} - \theta_+)_xx &= 2C_2 H''(\theta_+) (\bar{\theta} - \theta_+) (\bar{\theta} - \theta_+)_x = \\ &2k_2^2 \left( \frac{\delta}{1 + k_2 x \delta} \right)^3. \end{aligned} \quad (36)$$

综合式(34)–式(36), 当  $H'(\theta_+) = 0$  时, 可得代数类型的衰减估计, 也就是式(25)。

结论: 通过对引理 3.1 的求证, 说明方程即式(20)可以得到解  $\bar{\theta}(x)$  以及其衰减性, 再代回式(17), 式(19), 进而求解出  $\bar{\rho}(x), \bar{u}(x), \bar{q}(x)$  整体解的存在性及其衰减性式(10), 式(11), 即定理 2.1 得到求证。由此, 得到了一维辐射 Euler 方程组边界层解的存在区域和性质。

#### 参考文献:

- [1] Wang J, Xie F. Asymptotic stability of viscous contact wave for the 1-D radiation hydro-dynamics system[J]. Differential Equations, 2011(251):1030-1055.
- [2] Huang F, Li X. Convergence to the rarefaction wave for a model of radiating gas in one-dimension[J]. Acta Math. Appl. Sin. Engl. Ser., 2016(32):239-256.
- [3] Fan L, Ruan L, Xiang W. Asymptotic stability of a composite wave of two viscous shock waves for the one-dimensional radiative Euler equations[J]. Ann. I. H. Poincaré, 2019(36):1 – 25.
- [4] Fan L, Ruan L, Xiang W. Asymptotic stability of rarefaction wave for the inflow problem governed by the one-dimensional radiative Euler equations[J]. SIAM J. Math. Anal., 2019, 51(1), 595 – 625.

(下转第 62 页)

- [2] 赵晓飞,李崇光.农产品供应链联盟的利益分配模型与策略研究[J].软科学,2008(05):90-94,110.
- [3] Ren X Y, Feng Q Q, Wang S, et al. Profit distribution of agricultural supply chain based on Shapley value[J]. Advance Journal of Food Science and Technology, 2015, 7(7): 479-483.
- [4] 高强,穆丽娟.“合作社主导型农产品供应链”利益分配研究[J].西部论坛,2015,25(01):8-15.
- [5] 李泉林,黄亚静,鄂成国.“农超对接”下配送中心与n个超市的合作机制研究[J].运筹与管理,2017,26(03):27-35.
- [6] 李军,朱先奇,姚西龙,等.供应链企业协同创新利益分配策略——基于夏普利值法改进模型[J].技术经济,2016,35(09):122-126.
- [7] 胡湘云,王城松,刘小红.基于Shapley值法修正的中小企业供应链协同创新收益分配研究[J].工业技术经济,2017,36(07):143-149.
- [8] 周业付.基于改进Shapley值模型的农产品供应链利益分配机制[J].统计与决策,2017(23):52-54.
- [9] 薛楠,姜溪.基于互联网+的京津冀一体化农产品智慧供应链构建[J].中国流通经济,2015,29(07):82-87.
- [10] 范德成,胡钰.造船供应链利益分配问题的Shapley值法分析[J].哈尔滨工程大学学报,2014,35(05):649-653.
- [11] 梁鹏,李江.基于Shapley值法的农产品供应链联盟利益分配机制研究[J].商业研究,2013(08):191-194,216.

(上接第50页)

- [20] Song D, Cho E C, Conibeer G, et al. Structural characterization of annealed Si<sub>1-x</sub>C<sub>x</sub>/SiC multilayers targeting formation of Si nanocrystals in a SiC matrix[J]. J. Appl. Phys., 2008, 103(8): 083544-7.

(上接第55页)

- [5] Matsumura A. Inflow and outflow problems in the half space for a one-dimensional isentropic model system of compressible viscous gas[J]. Methods Appl. Anal., 2001 (8): 645-666.
- [6] Huang F, Li J, Shi X. Asymptotic behavior of solutions to the full compressible Navier-Stokes equations in the half space Commun [J]. Math. Sci. 2010(8):639-654.
- [7] Kawashima S, Nakamura T, Nishibata S, et

- [21] Cheng Q, Xu S, Ostrikov K. Rapid, low-temperature synthesis of nc-Si in high-density, non-equilibrium plasmas: enabling nanocrystallinity at very low hydrogen dilution[J]. J. Mater. Chem. 2009 (19): 5134-5140.

al. Stationary waves to viscous heat-conductive gases in half space: existence, stability and convergence rate [J]. Mathematical Models and Methods in Applied Sciences. 2011(20):2201-2235.

- [8] 王高雄.常微分方程[M].北京:高等教育出版社,2006.
- [9] 丁同仁,李承治.常微分方程[M].北京:高等教育出版社,2004.
- [10] 盖拉德·泰休.常微分方程与动力系统[M].北京:机械工业出版社,2011.